

# КВАНТОВАЯ СПИНОВАЯ ЖИДКОСТЬ В ДВУХСЛОЙНОМ ТРЕУГОЛЬНОМ АНТИФЕРРОМАГНЕТИКЕ

**P. C. Гехт<sup>\*</sup>, И. Н. Бондаренко<sup>\*</sup>**

Институт физики им. Л. В. Киренского Сибирского отделения Российской академии наук  
660036, Красноярск, Россия

Поступила в редакцию 13 августа 2004 г.

Исследуется возможность реализации состояния типа квантовой спиновой жидкости в двухслойном треугольном антиферромагнетике со спином  $1/2$  при  $T = 0$ . Найдено отношение констант внутри- и межплоскостного обмена ( $j$ ), при котором происходит переход из классического состояния со 120-градусным упорядочением спинов в квантовое состояние с нулевой намагниченностью на узле; при этом спины соседних слоев образуют синглеты, отделенные от триплетных возбуждений энергетической щелью. В отличие от аналогичной системы с квадратной решеткой, область значений  $j$ , в которой реализуется классическое упорядоченное состояние, из-за эффектов фрустраций оказывается на порядок меньше; при этом поведение термодинамических величин в целом аналогично поведению в двухслойных квадратных решетках, отличие проявляется в поведении щели в спектре квазичастиц во внешнем магнитном поле  $h$ . Для малых полей  $h$  построена  $j - h$ -фазовая диаграмма, определяющая области существования 120-градусной и синглетной фаз. Установлено, что в окрестности фазового перехода второго рода вклад не учитываемых при спин-волновом описании продольных флуктуаций спина в термодинамические величины соизмерим с вкладом поперечных флуктуаций.

PACS: 75.10.Jm, 75.30.Cr, 75.30.Ds, 75.30.Et, 75.30.Kz, 75.45.+j

## 1. ВВЕДЕНИЕ

Известно, что образование спиновой щели в магнетиках между нижним синглетным состоянием и возбужденными магнитными уровнями приводит к тому, что при низких температурах в них не достигается магнитное упорядочение. Кроме того, в основе феномена ВТСП, вероятно, также лежит спин-щелевая природа. По этой причине в последнее время было изучено множество модельных объектов и реальных соединений, обладающих указанными свойствами [1–19]. Квантовые эффекты оказываются наиболее существенными в низкомерных системах, системах с малым координационным числом, низкоспиновых и фрустрированных системах [20–26]. Фрустрации, в частности, создавая или усиливая вырождение основного состояния [27], дают возможность возникновения новых типов упорядочения в результате конкуренции квантовых эффектов и слабых возмущений другой природы; с другой стороны, приводя к эффективному ослабле-

нию связи, они могут значительно изменить область реализации квантово-неупорядоченной фазы.

В нашей работе рассматриваются условия возникновения синглетной и магнитной фаз, а также термодинамические свойства системы, состоящей из двух слоев треугольного антиферромагнетика. Теоретический интерес к бислойным системам сформирован отчасти экспериментальными факторами. Экспериментальные наблюдения говорят о том, что некоторые из высокотемпературных сверхпроводников содержат пары  $\text{CuO}_2$ -слоев, отделенных от других слоев немагнитными прослойками [28, 29]. Экспериментально осаждают также слои с треугольной решеткой, образуемой ферромагнитным  $\text{He}^3$  [30].

В двумерных треугольных гейзенберговских антиферромагнетиках исследования показывают [31–34], что при  $T = 0$  существует дальний порядок даже для систем со спином  $S = 1/2$ , при этом намагниченность на узле вдвое меньше классической величины и имеет практически то же значение, что и для квадратных решеток [35, 36]. Наряду с этим известно, что взаимодействие между слоями

\*E-mail: bondhome@mail.ru

двуслойных квадратных антиферромагнетиков может привести при определенных соотношениях констант внутри- и межплоскостного обмена к переходу в синглетное состояние с полным квантовым сокращением спина [37–39].

Возможность квантового поведения в бислойных антиферромагнетиках видна из следующих соображений. В бислойной системе, состоящей из гейзенберговских спинов  $1/2$ , с внутримежплоскостным обменом  $J_1$  и межплоскостным  $J_2$ , в предельном случае  $J_1 = 0$  мы имеем систему невзаимодействующих димеров, в которой на каждом узле реализуется одно из четырех состояний: синглетное и три триплетных, отстоящих по энергии от основного на величину обмена  $J_2$ . Включение слабого внутримежплоскостного обмена  $J_1$ , очевидно, принципиально не меняет картины: величина щели не равна  $J_2$ , как в случае невзаимодействующих димеров, но порядка  $J_2$  (подтверждение этому имеется в тексте, см. ниже формулу (14)). Поэтому при слабом межплоскостном обмене ( $J_2 \ll J_1$ ) щель мала, триплетные состояния на каждом узле заселены, среднее значение намагниченности отлично от нуля и в бислойном треугольном антиферромагнетике должно соответствовать классическому 120-градусному упорядочению. В пределе больших  $J_2$  ( $J_2 \gg J_1$ ) триплетные магнитные уровни отделены слишком большой щелью от основного состояния и система должна жить в синглетном состоянии с нулевой намагниченностью на узле.

Гамильтониан модели ( $J_1, J_2 \geq 0$ ) имеет вид

$$H = J_1 \sum_{\langle i,j \rangle} \mathbf{S}_{1i} \mathbf{S}_{1j} + J_1 \sum_{\langle i,j \rangle} \mathbf{S}_{2i} \mathbf{S}_{2j} + J_2 \sum_i \mathbf{S}_{1i} \mathbf{S}_{2i} + J_2 \sum_i \mathbf{S}_{2i} \mathbf{S}_{1i}, \quad (1)$$

$\langle i,j \rangle$  — пара ближайших соседей в каждом слое, 1, 2 — номера слоев. Кажущееся излишество в последних слагаемых обусловлено тем, что при систематическом переборе в  $\sum_{\langle i,j \rangle}$  каждая взаимодействующая пара спинов считается дважды, а в  $\sum_i$  — один раз. Пару ближайших спинов соседних плоскостей условимся называть димером.

## 2. СПИН-ВОЛНОВЫЕ ВЫЧИСЛЕНИЯ

В упорядоченной 120-градусной фазе мы провели стандартные спин-волновые вычисления с использованием преобразования Голштейна–Примакова от спиновых операторов к операторам рождения и уничтожения магнитных отклонений от

120-градусной структуры. Установлено, что спектр возбуждений содержит две ветви, каждая из которых содержит голдстоуновский бозон: первая на волновом векторе  $\mathbf{k} = (0, 0)$ , соответствующем ферромагнитному упорядочению, вторая — на волновом векторе  $\mathbf{k} = \mathbf{q} = (4\pi/3, 0)$ , соответствующем 120-градусной структуре:

$$\begin{aligned} E_{k1}^{HP} &= 3J_1 S \sqrt{(1 - \nu_k)(1 + 2\nu_k + 2j)}, \\ E_{k2}^{HP} &= 3J_1 S \sqrt{(1 + 2\nu_k)(1 - \nu_k + 2j)} > E_{k1}^{HP}, \end{aligned} \quad (2)$$

$$\nu_k \equiv \frac{1}{3} \left( \cos k_x + 2 \cos \frac{k_x}{2} \cos \frac{\sqrt{3}}{2} k_y \right), \quad j \equiv \frac{J_2}{3J_1}. \quad (3)$$

В первом порядке по  $1/S$  получены намагниченность на узле и скорость спиновых волн вблизи симметрийного волнового вектора  $\mathbf{k} = \mathbf{q}$  (здесь  $N$  — число димеров):

$$\begin{aligned} N_0 &= S + \frac{1}{2} - \frac{S}{2N} \sum_{\alpha,k} \frac{3J_1 + J_2 + 3J_1 \nu_k / 2}{2E_{k\alpha}^{HP}}, \\ c &= \frac{3\sqrt{3}}{2\sqrt{2}} J_1 S \sqrt{1 + \frac{4}{9} \frac{J_2}{J_1}}. \end{aligned} \quad (4)$$

## 3. ПРЕДСТАВЛЕНИЕ СВЯЗАННЫХ ОПЕРАТОРОВ

В другом предельном случае в синглетной фазе с нулевой намагниченностью на узле спин-волновое описание неприменимо и использовалось представление связанных операторов, впервые введенное в работе [35], в дальнейшем применявшиеся для гейзенберговских моделей с конкурирующим взаимодействием [2, 5, 36] и для двухслойных антиферромагнетиков на квадратной решетке [38, 39]. Вводится система состояний димера:

$$\begin{aligned} |t_a\rangle &= |\uparrow\uparrow\rangle = |1, 1\rangle, \\ |t_b\rangle &= -|\downarrow\downarrow\rangle = |1, -1\rangle, \\ |t_c\rangle &= \frac{1}{\sqrt{2}} (\uparrow\downarrow + \downarrow\uparrow) = |1, 0\rangle, \\ |0\rangle &= \frac{-1}{\sqrt{2}} (\uparrow\downarrow - \downarrow\uparrow) = |0, 0\rangle, \end{aligned} \quad (5)$$

и три бозона  $a, b, c$ , описывающие переход из синглетного состояния  $|0\rangle$  в одно из триплетных:

$$a^+ |0\rangle = |t_a\rangle, \quad b^+ |0\rangle = |t_b\rangle, \quad c^+ |0\rangle = |t_c\rangle. \quad (6)$$

Операторы рождения и уничтожения синглетного состояния определим так:

$$s^+ |0\rangle = |0\rangle, \quad s^- |0\rangle = |0\rangle. \quad (7)$$

Введенные таким образом операторы  $s^+$  и  $s$  равны между собой и равны константе:

$$s^+ = s \equiv u,$$

что является признаком сконденсированности синглетного состояния. Оператор  $u$ , определяемый из условия нормировки, позволяет исключить возможность существования нескольких триплетных возбуждений на одном узле. В данный момент на узле реализуется одно из четырех состояний, и оператор полного числа частиц на узле равен 1:

$$s^+s + a^+a + b^+b + c^+c = 1.$$

Поэтому

$$\begin{aligned} s^+s = u^2 &= 1 - a^+a - b^+b - c^+c \Rightarrow u = \\ &= \sqrt{1 - (a^+a + b^+b + c^+c)}. \end{aligned} \quad (8)$$

В представлении новых операторов компоненты векторов ферро- и антиферромагнетизма димера

$$\mathbf{M} = \mathbf{S}_1 + \mathbf{S}_2, \quad \mathbf{L} = \mathbf{S}_1 - \mathbf{S}_2$$

выглядят следующим образом:

$$\begin{aligned} M^z &= a^+a - b^+b, \quad M^+ = \sqrt{2}(a^+c - c^+b), \\ M^- &= \sqrt{2}(c^+a - b^+c), \quad L^z = -(c^+u + uc), \quad (9) \\ L^+ &= \sqrt{2}(a^+u + ub), \quad L^- = \sqrt{2}(b^+u + ua). \end{aligned}$$

Внутри корня оператора  $u$  вводится параметр  $\lambda$ :

$$u = \sqrt{1 - \lambda(a^+a + b^+b + c^+c)},$$

который позволяет в приближении  $\lambda \ll 1$  провести разложение  $u$ , а затем, подобно  $1/S$ -разложению в обычной спин-волновой теории, положить  $\lambda = 1$  в окончательных результатах. Чтобы не изменились коммутационные соотношения для спина

$$\begin{aligned} [M^\alpha, M^\beta] &= i\varepsilon_{\alpha\beta\gamma}M^\gamma, \quad [L^\alpha, L^\beta] = i\varepsilon_{\alpha\beta\gamma}L^\gamma, \quad (10) \\ [M^\alpha, L^\beta] &= i\varepsilon_{\alpha\beta\gamma}L^\gamma, \end{aligned}$$

фактор  $1/\sqrt{\lambda}$  вводится в три компоненты вектора  $\mathbf{L}$ :

$$\begin{aligned} L^z &= -(c^+u + uc)/\sqrt{\lambda}, \\ L^+ &= \sqrt{2}(a^+u + ub)/\sqrt{\lambda}, \quad (11) \\ L^- &= \sqrt{2}(b^+u + ua)/\sqrt{\lambda}, \end{aligned}$$

Подставляя (9) и (11) в исходный гамильтониан (1) и учитывая, что для димера с  $S = 1/2$  выполняется соотношение

$$\mathbf{S}_1 \mathbf{S}_2 = -\frac{3}{4} + a^+a + b^+b + c^+c,$$

получим ( $J_{ij}^* \equiv J_{ij}/\lambda$ )

$$\begin{aligned} H = -\frac{3}{2}J_2N + 2J_2 \sum_i (a_i^+a_i + b_i^+b_i + c_i^+c_i) + \\ + \sum_{ij} \left\{ J_{ij}(c_i^+a_i - b_i^+c_i)(a_j^+c_j - c_j^+b_j) + \right. \\ + J_{ij}^*(b_i^+u_i + u_ia_i)(a_j^+u_j + u_jb_j) + \\ + \frac{1}{2}J_{ij}^*(c_i^+u_i + u_ic_i)(c_j^+u_j + u_jc_j) + \\ \left. + \frac{1}{2}J_{ij}(a_i^+a_i - b_i^+b_i)(a_j^+a_j - b_j^+b_j) \right\}, \quad (12) \end{aligned}$$

где операторы  $a, b, c$  подчиняются бозонным перестановочным соотношениям

$$[a_i, a_j^+] = \delta_{ij}, \quad [a_i^+, a_j^+] = 0,$$

$$[a_i, a_j] = 0, \quad [a_i, b_j] = 0 \quad \text{и т. п.}$$

#### 4. СПЕКТР НЕУПОРЯДОЧЕННОЙ ФАЗЫ

В неупорядоченном состоянии бозоны  $a, b, c$  равноправны и квадратичная форма гамильтониана (12) имеет следующий вид ( $u \approx 1$ ):

$$\begin{aligned} H = -\frac{9}{2}J_2N + \sum_k A_k (a_k^+a_k + b_k^+b_k + c_k^+c_k + \\ + a_{-k}a_{-k}^+ + b_{-k}b_{-k}^+ + c_{-k}c_{-k}^+) + \\ + \sum_k B_k (a_k^+b_{-k}^+ + b_k^+a_{-k}^+ + b_{-k}a_k + \\ + a_{-k}b_k + c_k^+c_{-k}^+ + c_{-k}c_k), \quad (13) \end{aligned}$$

$$A_k = 3J_1^*(j + \nu_k), \quad B_k = 3J_1^*\nu_k, \quad j \equiv \frac{J_2}{3J_1^*}.$$

Область устойчивости синглетной фазы можно найти с помощью анализа спектра возбуждений квазичастиц. Спектр возбуждений неупорядоченного состояния найден без учета квантовых поправок диагонализацией квадратичной формы. В силу равноправия бозонов  $a, b, c$  спектр трехкратно вырожден и имеет щель на волновом векторе  $\mathbf{q}$  120-градусной структуры:

$$\begin{aligned} E_k &= \sqrt{A_k^2 - B_k^2} = J_2 \sqrt{1 + \frac{1}{j}2\nu_k}, \quad (14) \\ \Delta_{abc} &= J_2 \sqrt{1 - 1/j} = E_k (\mathbf{k} = \mathbf{q}). \end{aligned}$$

Щель в спектре элементарных возбуждений неупорядоченной фазы (в том числе в области  $J_2 \gg J_1$ ), как пояснялось во Введении, имеет порядок  $J_2$  и равна точному значению  $J_2$  в случае невзаимодействующих димеров ( $J_1 = 0$ ).

При  $j > 1$  спектр всюду действителен; при  $j < 1$  спектр становится частично мнимым: система должна перейти в новое состояние. В точке фазового перехода  $j = 1$  щель в спектре исчезает, и поэтому энергия возбуждений, связанных с образованием 120-градусной структуры, обращается в нуль. Возникает голдстоуновский бозон  $E_k(\mathbf{k} = \mathbf{q}) = 0$ , указывающий на понижение симметрии, связанное с конденсацией при  $j < 1$  нового состояния — 120-градусной структуры. Таким образом, в этом приближении 120-градусное упорядочение устойчиво в области  $j < 1$ , синглетная фаза — при  $j > 1$ . Скорость спиновых волн в точке перехода  $c = (3/2)J_1^*$ .

## 5. МОДИФИКАЦИЯ ОПЕРАТОРОВ В 120-ГРАДУСНОЙ ФАЗЕ

В упорядоченной фазе операторы  $a$ ,  $b$ ,  $c$  модифицируются таким образом, чтобы обеспечивать среднее значение спина на узле, соответствующее 120-градусной структуре. Этого можно добиться выделением среднего значения операторов сорта  $c$  на волновом векторе  $\mathbf{k} = \mathbf{q}$ . Если положить

$$\langle c_q \rangle = \sqrt{N}\alpha \Leftrightarrow c_k = \sqrt{N}\alpha\delta_{kq} + \varepsilon_k, \quad (15)$$

то для среднего значения спина на узле во второй плоскости получим:

$$\langle S_{2i}^z \rangle = \frac{\sqrt{\beta(1-\beta)}}{\lambda} \cos qR_i \equiv N_0^{mid} \cos qR_i,$$

где  $\beta \equiv \lambda\alpha^2$ . Видно, что  $\langle S_{2i}^z \rangle$  ведет себя как проекция модуля  $N_0^{mid}$  на ось  $z$  под углом  $\alpha_i = qR_i$ , где  $\alpha_i$  при переходе от некоторого узла к соседнему ( $R_i = 1$ ) меняется на  $4\pi/3 \cdot 1 = 240^\circ \Leftrightarrow -120^\circ$  (поворот спина). Спины первой плоскости на каждом узле, как и должно быть, противоположны спинам второй. Таким образом,

$$N_0^{mid} \equiv \frac{\sqrt{\beta(1-\beta)}}{\lambda}$$

есть среднее значение спина на узле в нулевом приближении, а представление (15) обеспечивает 120-градусной структуру.

Равновесное значение  $\beta$  определялось из минимума энергии основного состояния. В среднеполевом приближении энергия основного состояния и  $\beta$  ( $\partial E_0 / \partial \beta = 0$ ):

$$E_0 = -\frac{3}{2}J_2N + 2J_2N\frac{\beta}{\lambda} - 6J_1^*N\frac{\beta}{\lambda}(1-\beta), \quad (16)$$

$$\beta_0 = \frac{1}{2}(1-j).$$

Таким образом, среднее значение операторов  $c$  ( $\sim \alpha$ ) и среднее значение спина на узле имеют смысл при  $j < 1$ , т. е. в упорядоченной фазе; в точке фазового перехода в среднеполевом приближении  $j = 1$  все средние обращаются в нуль.

## 6. СПЕКТР ВОЗБУЖДЕНИЙ УПОРЯДОЧЕННОЙ ФАЗЫ

Для определения спектра возбуждений в упорядоченной фазе необходимо найти квадратичную форму гамильтониана (12) с учетом соотношений (15).

Гамильтониан упорядоченной фазы можно представить в виде

$$H = E_0 + H_\perp + H_\parallel,$$

где  $H_\perp$  — часть, квадратичная по операторам  $a$ ,  $b$ ,  $H_\parallel$  — часть, квадратичная по операторам  $\varepsilon$ .  $H_\parallel$  даст спектр продольных флюктуаций спина (операторы  $c$ ,  $\varepsilon$  определяют среднее значение спина на узле),  $H_\perp$  — спектр поперечных колебаний.

### 6.1. Спектр поперечных колебаний

Поясним, как находилась квадратичная форма по операторам  $a$ ,  $b$  ( $H_\perp$ ). Для этого в гамильтониане (12) в слагаемых, содержащих явно  $a$ ,  $b$  и  $u$ , в качестве  $u$  достаточно ограничиться выражением

$$u = \langle u \rangle = \sqrt{1-\beta};$$

в слагаемых, содержащих  $c$ ,  $u$ , — приближением

$$u = 1 - \frac{\lambda}{2}(a^+a + b^+b);$$

в качестве  $c$  в  $H_\perp$  везде мы используем среднее значение:

$$c = \langle c \rangle.$$

В результате после перехода в  $k$ -пространство  $H_\perp$  приобретает вид

$$H_\perp = \sum_k A_k^\perp (a_k^+ a_k + b_k^+ b_k + a_{-k} a_{-k}^+ + b_{-k} b_{-k}^+) +$$

$$+ B_k^\perp (a_k^+ b_{-k}^+ + b_k^+ a_{-k}^+ + a_k b_{-k} + b_k a_{-k}), \quad (17)$$

$$\frac{A_k^\perp}{3J_1^*} \equiv a_\perp = j + \beta + \nu_k \left(1 - \frac{3}{2}\beta\right),$$

$$\frac{B_k^\perp}{3J_1^*} \equiv b_\perp = \nu_k \left(1 - \frac{\beta}{2}\right).$$

Спектр поперечных мод двукратно вырожден, является бесщелевым, содержит гольдстоуновскую моду с  $\mathbf{k} = \mathbf{q}$  (при любых  $j$ ):

$$E_k^\perp = \sqrt{A_k^{\perp 2} - B_k^{\perp 2}} = J_2 \left( 1 + \frac{\beta}{j} \right) \times \times \sqrt{\left( 1 - \frac{\beta}{j + \beta} \nu_k \right) \left( 1 + \frac{1 - j}{j + \beta} 2\nu_k \right)}, \quad (18)$$

$$E_k^\perp(\beta_0) = \frac{3}{2} J_1^* (1+j) \sqrt{(1+2\nu_k) \left( 1 - \frac{1-j}{1+j} \nu_k \right)}, \quad (19)$$

где  $E_k^\perp(\beta_0)$  — среднеполевое приближение. Наличие гольдстоуновского бозона в спектре колебаний в плоскости слоя, очевидно, связано с нарушением симметрии, обусловленным наличием в плоскости слоя при  $j < 1$  120-градусного неелевского упорядочения. Скорость спиновых волн вблизи  $\mathbf{k} = \mathbf{q}$  равна:

$$c = \frac{3}{2} J_1^* \sqrt{\left( 1 - \beta_0 \right) \left( 1 - \frac{\beta_0}{2} \right)}.$$

## 6.2. Спектр продольных колебаний

Квадратичные по  $\varepsilon$  члены, образующие гамильтониан  $H_{\parallel}$ , содержатся в следующих слагаемых гамильтониана (12):

$$H_{\parallel} = 2J_2 \sum_i \varepsilon_i^+ \varepsilon_i + + \frac{1}{2\lambda} \sum_{ij} J_{ij} \left\{ (c_i^+ u_i + u_i c_i)(c_j^+ u_j + u_j c_j) - - (c_{i0}^+ u_{i0} + u_{i0} c_{i0})(c_{j0}^+ u_{j0} + u_{j0} c_{j0}) \right\},$$

где достаточно использовать соотношения

$$u = \sqrt{1 - \lambda c^+ c}, \quad c = c_0 + \varepsilon,$$

и разложить  $u$  по степеням  $\lambda$ . Конденсатное слагаемое, вычитаемое внутри суммы, уже учтено в энергии основного состояния (16). После отделения квадратичной по  $\varepsilon$  части и перехода в  $k$ -пространство получим

$$H_{\parallel} = e_{\parallel}^0 + \sum_k \{ A_k^{\parallel} (\varepsilon_k^+ \varepsilon_k + \varepsilon_{-k} \varepsilon_{-k}^+) + + B_k^{\parallel} (\varepsilon_k^+ \varepsilon_{-k}^+ + \varepsilon_k \varepsilon_{-k}) \}, \quad (20)$$

$$e_{\parallel}^0 = \frac{3}{2} J_1^* N \frac{\beta^2}{1 - \beta},$$

$$\frac{A_k^{\parallel}}{3J_1^*} \equiv a_k^{\parallel} = j + 2\beta + \frac{\beta^2}{2(1 - \beta)} (1 + 2\nu_k) + \nu_k (1 - 3\beta),$$

$$\frac{B_k^{\parallel}}{3J_1^*} \equiv b_k^{\parallel} = \beta + \frac{\beta^2}{2(1 - \beta)} (1 + 2\nu_k) + \nu_k (1 - 3\beta).$$

Спектр продольных колебаний щелевой ( $E_k^{\parallel}(\beta_0)$  — среднеполевое приближение) и имеет вид

$$E_k^{\parallel} = \sqrt{A_k^{\parallel 2} - B_k^{\parallel 2}} = 3J_1^* \sqrt{(j + \beta) \frac{j(1 - \beta) - \beta(2\beta - 3)}{1 - \beta} \left[ 1 + \frac{(2\beta - 1)^2}{j(1 - \beta) - \beta(2\beta - 3)} 2\nu_k \right]}, \quad (21)$$

$$E_k^{\parallel}(\beta_0) = 3J_1^* \sqrt{1 + 2\nu_k j^2}, \quad (22)$$

$$\Delta_{\parallel}(\beta_0) = 6J_1^* \sqrt{\beta_0(1 - \beta_0)} = E_k^{\parallel}(\mathbf{k} = \mathbf{q}).$$

Щель закрывается в точке фазового перехода  $\beta_0 = 0$ . В окрестности критической точки ( $\beta_0 \rightarrow 0$ ) величина щели мала ( $\Delta_{\parallel}(\beta_0) \sim \sqrt{\beta_0}$ ), поэтому при вычислении различных физических величин можно ожидать, что вклад от продольных флуктуаций будет соизмерим с вкладом поперечных.

## 7. КОРРЕЛЯЦИОННЫЕ ФУНКЦИИ

Мы исследовали поведение корреляционных функций между ближайшими спинами в слое

$\langle \mathbf{S}_{ni} \mathbf{S}_{nj} \rangle$  и между слоями  $\langle \mathbf{S}_{1i} \mathbf{S}_{2i} \rangle$  в обеих фазах:

$$\langle \mathbf{S}_{1i} \mathbf{S}_{1j} \rangle = \left\langle \frac{\mathbf{M}_i + \mathbf{L}_i}{2} \frac{\mathbf{M}_j + \mathbf{L}_j}{2} \right\rangle, \quad (23)$$

$$\langle \mathbf{S}_{2i} \mathbf{S}_{2j} \rangle = \left\langle \frac{\mathbf{M}_i - \mathbf{L}_i}{2} \frac{\mathbf{M}_j - \mathbf{L}_j}{2} \right\rangle,$$

где мы используем соотношения (9), (11) и ограничиваемся квадратичным приближением по операторам. Например, в неупорядоченной фазе для  $\langle \mathbf{S}_i \mathbf{S}_j \rangle^{1,2}$  получаем

$$\begin{aligned} \langle \mathbf{S}_i \mathbf{S}_j \rangle^{1,2} = & \frac{1}{4\lambda N} \sum_k 2 \left( \langle a_k^+ b_{-k}^+ \rangle + \langle a_k b_{-k}^- \rangle + \right. \\ & + \langle a_k^+ a_k^- \rangle + \langle b_k^+ b_k^- \rangle + \langle c_k^+ c_k^- \rangle + \\ & \left. + \frac{1}{2} [\langle c_k^+ c_{-k}^+ \rangle + \langle c_k c_{-k}^- \rangle] \right) \cos \mathbf{k} \Delta. \end{aligned}$$

Средние значения в последнем выражении находились с помощью преобразования Боголюбова к новым операторам, в представлении которых исходный гамильтониан (в данном случае неупорядоченного состояния) диагонален. В результате эти средние содержат константы и операторы числа частиц того или иного сорта с определенным значением  $\mathbf{k}$ , которые согласно распределению Бозе равны нулю для рассматриваемого случая магнитного газа с химическим потенциалом  $\mu = 0$  при  $T = 0$ . Аналогично находились и остальные корреляционные функции. Результаты для неупорядоченной фазы выглядят следующим образом ( $j > 1$ ):

$$\begin{aligned} \langle \mathbf{S}_i \mathbf{S}_j \rangle^{1,2} = & \frac{3}{4\lambda N} \sum_k \frac{\cos \mathbf{k} \Delta}{\sqrt{1 + \frac{2\nu_k}{j}}}, \\ \langle \mathbf{S}_{1i} \mathbf{S}_{2i} \rangle = & -\frac{9}{4} + \frac{3}{2N} \sum_k \frac{1 + \frac{\nu_k}{j}}{\sqrt{1 + \frac{2\nu_k}{j}}}. \end{aligned} \quad (24)$$

Для упорядоченной фазы ( $j < 1$ ) аналитические формулы в силу их громоздкости мы не приводим. Подробное изложение всех обсуждаемых результатов можно найти в работе [40]. Поведение корреляционных функций приведено на рис. 1. Как и должно быть, в пределе  $j \rightarrow \infty$  корреляции между спинами одного димера  $\langle \mathbf{S}_{1i} \mathbf{S}_{2i} \rangle$  имеют асимптоту  $-3/4$ , а внутриплоскостные корреляции  $\langle \mathbf{S}_i \mathbf{S}_j \rangle$  стремятся к нулю. В точке перехода корреляционные функции непрерывны. В пределе  $j = 0$  слагаемые в  $\langle \mathbf{S}_i \mathbf{S}_j \rangle$ , обусловленные продольными флуктуациями, в сумме дают нуль, т. е. не вносят вклада. В отличие от результатов модифицированных спин-волновых методов корреляции между спинами в слое в синглетной фазе имеют конечное значение и нарастают по мере приближения к точке фазового перехода ( $j = 1$ ). Корреляции между спинами соседних слоев с уменьшением  $j$  уменьшаются и достигают значения  $-0.47$ , которое меньше, чем в модифицированной спин-волновой теории.

## 8. ЭНЕРГИЯ ОСНОВНОГО СОСТОЯНИЯ С УЧЕТОМ ФЛУКТУАЦИЙ

После диагонализации составляющие гамильтониана упорядоченной фазы  $H_\perp$  и  $H_\parallel$  имеют стан-

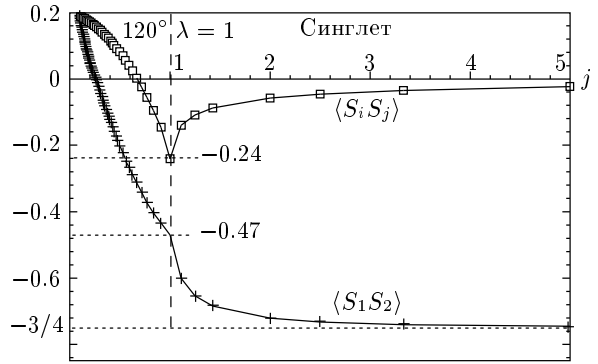


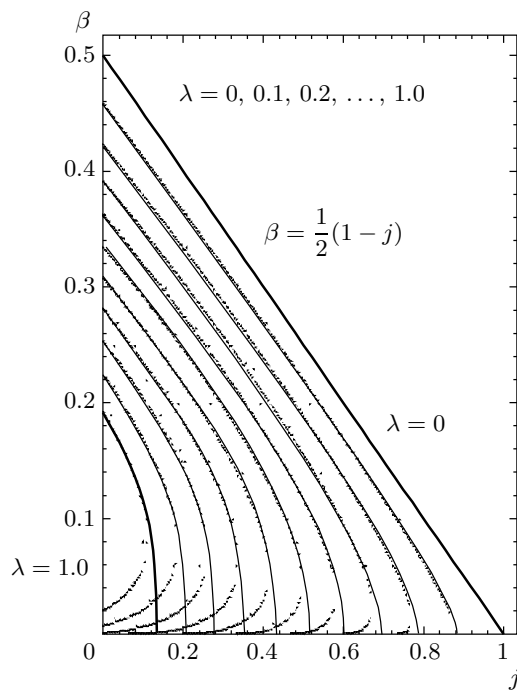
Рис. 1. Корреляционные функции между ближайшими спинами (среднеполовое приближение)

дарный вид, позволяющий вычислить энергию основного состояния  $E$  с учетом флуктуационных поправок:

$$\begin{aligned} H_\perp = & \sum_k E_k^\perp (\alpha_k^+ \alpha_k + \beta_k^+ \beta_k + \alpha_{-k}^- \alpha_{-k}^+ + \\ & + \beta_{-k}^- \beta_{-k}^+) + 2 \sum_k (E_k^\perp - A_k^\perp), \\ H_\parallel = & e_\parallel^0 + \sum_k E_k^\parallel (\gamma_k^+ \gamma_k + \gamma_{-k}^- \gamma_{-k}^+) + \\ & + \sum_k (E_k^\parallel - A_k^\parallel), \\ E = & E_0 + e_\parallel^0 + 2 \sum_k (E_k^\perp - A_k^\perp) + \\ & + \sum_k (E_k^\parallel - A_k^\parallel), \end{aligned} \quad (25)$$

а также уточнить равновесное значение параметра  $\beta$  ( $\partial E / \partial \beta = 0$ ). Уравнение для равновесного  $\beta$  имеет самосогласованный вид:

$$\begin{aligned} \beta = & \beta_0 - \lambda Z_b(\beta), \\ Z_b(\beta) = & Z_1(\beta) + Z_2(\beta) + \\ & + Z_3(\beta) + Z_4(\beta) + Z_5(\beta), \\ Z_1(\beta) = & \frac{\beta(2-\beta)}{8(1-\beta)^2}, \\ Z_2(\beta) = & \frac{1}{N6J_1^*} \sum_k \frac{\partial A_k^\perp}{\partial \beta} \left( \frac{A_k^\perp}{E_k^\perp} - 1 \right), \\ Z_3(\beta) = & -\frac{1}{N6J_1^*} \sum_k \frac{\partial B_k^\perp}{\partial \beta} \frac{B_k^\perp}{E_k^\perp}, \\ Z_4(\beta) = & \frac{1}{N12J_1^*} \sum_k \frac{\partial A_k^\parallel}{\partial \beta} \left( \frac{A_k^\parallel}{E_k^\parallel} - 1 \right), \end{aligned} \quad (26)$$



**Рис. 2.** Равновесное  $\beta$  с учетом квантовых поправок. Точками показано решение самосогласованного уравнения (26) для  $\lambda = 0.1, \dots, 1.0$ , сплошные кривые — аппроксимация, исключающая нефизичную двузначность функции, обусловленную расходимостью гауссовых флуктуаций вблизи фазового перехода ( $\beta \rightarrow 0$ ). Точка обращения  $\beta$  в нуль для физического случая  $\lambda = 1$ :  $j = 0.132$

$$Z_5(\beta) = -\frac{1}{N12J_1^*} \sum_k \frac{\partial B_k^\parallel}{\partial \beta} \frac{B_k^\parallel}{E_k^\parallel}.$$

Мы рассчитывали  $Z_b(\beta)$  в первом приближении, проводя преобразования точных функций  $\beta$ , после чего использовали для  $\beta$  среднеполевое приближение  $\beta_0$ . Корни уравнения найдены методом половинного деления с точностью 0.01. Семейство функций  $\beta(j)$ , соответствующих различным  $\lambda$ , представлено на рис. 2. Как видно на рисунке, имеется асимптота

$$\beta = \beta_0 = \frac{1}{2}(1 - j)$$

при  $\lambda \rightarrow 0$ . Характерной особенностью функций при больших  $\lambda$  является двузначность  $\beta(j)$  в области малых  $\beta$ , что нефизично. Такие результаты обусловлены гауссовыми флуктуациями, неограниченно возрастающими при приближении к фазовому переходу ( $\beta \rightarrow 0$ ), что подробно обсуждается в работе [38]. Поэтому, опираясь на рассчитанные значения  $\beta$  вдали от фазового перехода, в окрестности фазового пере-

хода ( $\beta \approx 0$ ) мы аппроксимируем функции так, чтобы избежать двузначности (рис. 2). Согласно этой аппроксимации, точка обращения  $\beta$  в нуль при  $\lambda = 1$  есть  $j = J_2/3J_1 = 0.132$ , т. е.  $J_2/J_1 = 0.4$ . В аналогичной системе с квадратной решеткой точка перехода в неупорядоченное состояние соответствует величине  $J_2/J_1 = 1.86-4.5$  в зависимости от метода расчета [38, 39]. Как и ожидалось, классическое упорядоченное состояние в треугольной системе ( $120^\circ$ ) разрушается значительно быстрее, чем в квадратной — область значений  $j$ , в которой реализуется упорядоченное состояние, на порядок меньше. Такое существенное отличие частично может быть объяснено фрустрированностью связей в плоскости. При равных  $J_1$  и  $J_2$  в квадратной и треугольной системах эффективное взаимодействие двух спинов в плоскости треугольной решетки  $J_1$  из-за ориентации спина не в соответствии с локальным минимумом энергии оказывается слабее в 2 раза, а величина отношения  $J_2/J_1$  в точке перехода — эффективно больше (приближаясь тем самым к значению в квадратной). Качественно ясно, что эффективное возрастание  $J_2/J_1$ , увеличивая щель между синглетным и триплетными уровнями, приводит к более раннему (по  $j$ ) заселению синглетной орбитали и разрушению 120-градусного упорядочения.

## 9. СПОНТАННАЯ НАМАГНИЧЕННОСТЬ

Среднее значение спина на узле в  $120^\circ$ -градусной фазе равно

$$N_0 = |\langle S_1^z \rangle| = |\langle S_2^z \rangle| = \frac{1}{\sqrt{\lambda}} \langle c^+ u \rangle = \frac{1}{\sqrt{\lambda}} \times \times \left\langle (\alpha + \varepsilon^+) \sqrt{1 - \lambda [a^+ a + b^+ b + (\alpha + \varepsilon^+)(\alpha + \varepsilon)]} \right\rangle. \quad (27)$$

С точностью до квадратичных по операторам слагаемых имеем

$$N_0 = \frac{\alpha \sqrt{1 - \beta}}{\sqrt{\lambda}} \times \times \left[ 1 - \frac{\lambda}{2(1 - \beta)} (\langle a_k^+ a_k \rangle + \langle b_k^+ b_k \rangle + \langle \varepsilon_k^+ \varepsilon_k \rangle) - \frac{\lambda}{2(1 - \beta)} (\langle \varepsilon_k^+ \varepsilon_k \rangle + \langle \varepsilon_k^+ \varepsilon_{-k}^+ \rangle) - \frac{\lambda \beta}{8(1 - \beta)^2} \times \times (\langle \varepsilon_k \varepsilon_{-k} \rangle + \langle \varepsilon_k^+ \varepsilon_{-k}^+ \rangle + \langle \varepsilon_k^+ \varepsilon_k \rangle + \langle \varepsilon_k \varepsilon_k^+ \rangle) \right]. \quad (28)$$

Средние находились с помощью преобразования Богоявленова, полученного в разделе о корреляционных

функциях. В результате получим

$$\begin{aligned} N_0 &= \frac{\sqrt{\beta(1-\beta)}}{\lambda}(1 - \lambda Z_a(\beta)), \\ Z_a(\beta) &= Z_6(\beta) + Z_7(\beta) + Z_8(\beta) + Z_9(\beta), \\ Z_6(\beta) &= \frac{\beta}{8(1-\beta)^2}, \\ Z_7(\beta) &= -\frac{2-\beta}{8(1-\beta)^2} \frac{1}{N} \sum_k \frac{B_k^{\parallel}}{E_k^{\parallel}}, \\ Z_8(\beta) &= \frac{4-3\beta}{8(1-\beta)^2} \frac{1}{N} \sum_k \left( \frac{A_k^{\parallel}}{E_k^{\parallel}} - 1 \right), \\ Z_9(\beta) &= \frac{1}{2(1-\beta)} \frac{1}{N} \sum_k \left( \frac{A_k^{\perp}}{E_k^{\perp}} - 1 \right). \end{aligned} \quad (29)$$

Здесь

$$\frac{\sqrt{\beta(1-\beta)}}{\lambda} = \frac{\langle c_0^+ u_0 \rangle}{\sqrt{\lambda}}$$

— приближение намагниченности без учета флуктуаций.

Приближение спонтанной намагниченности, не зависящее от таблицы значений  $\beta(j)$ , можно получить, используя первое итерационное приближение для  $\beta$ :

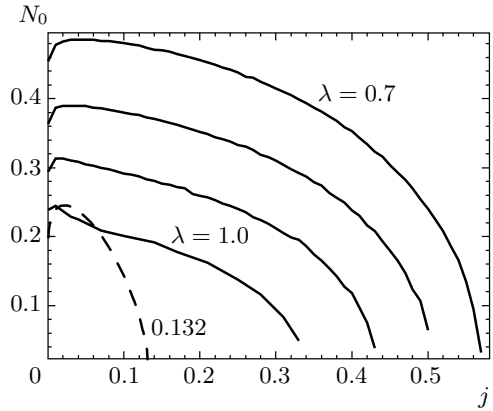
$$\beta \approx \beta_1 = \beta_0 - \lambda Z_b(\beta_0).$$

Тогда, принимая

$$Z_a \approx Z_a(\beta_0), \quad Z_b \approx Z_b(\beta_0),$$

с учетом того, что  $\lambda \ll 1$ , получим приближение намагниченности, показанное на рис. 3. Такое приближение имеет существенный недостаток: точки обращения в нуль величин  $N_0$  и  $\beta$  (точка фазового перехода) не совпадают. Однако оно выявляет характерную особенность функции — наличие небольшого максимума в области малых  $j$ , особенно выраженного для средних значений  $\lambda$  — поведение, аналогичное поведению в двухслойных квадратных решетках [38].

Мы установили, что в пределе  $j = 0$  продольные волны не дают вклада в намагниченность, поскольку слагаемые в  $Z_a$ , обусловленные продольными флуктуациями, в сумме равны нулю. В другом предельном случае, в окрестности фазового перехода ( $\beta \rightarrow 0$ ), намагниченность исчезает как  $N_0 \propto \sqrt{\beta}$ , и все слагаемые в  $Z_a(\beta = 0)$ , как поперечные, так и продольные, оказываются одного порядка. Таким образом, продольные флуктуации спина, не учитываемые при спин-волновом описании, в окрестности фазового перехода оказываются соизмеримыми с поперечными.



**Рис. 3.** Спонтанная намагниченность с учетом флуктуаций. Сплошные кривые получены с использованием первого итерационного приближения для  $\beta$ , штриховая кривая — примерное поведение, соответствующее таблице равновесных  $\beta(j)$  при  $\lambda = 1.0$

Может показаться, что полученная таблица равновесных значений  $\beta(j)$  позволяет определить точное поведение намагниченности. Однако это заблуждение, поскольку подстановка найденных с учетом флуктуаций значений  $\beta(j)$  в интегральные функции  $Z_a(\beta)$  и  $Z_b(\beta)$ , содержащие в себе спектр и рассчитанные лишь в квадратичном приближении по операторам вторичного квантования без учета квантовых поправок, является превышением точности. В квадратичном приближении спектр определен в диапазоне  $j \in (0, 1)$ , точка фазового перехода  $j = 1$ , равновесное значение  $\beta = (1/2)(1-j)$ . Подстановка уточненных значений  $\beta(j) < (1/2)(1-j)$ , определенных в интервале  $j \in (0, 0.132)$ , делает спектры упорядоченной фазы частично мнимыми (например, поперечный спектр положительно определен на всей зоне Бриллюэна, только если  $\beta \in ((1/2)(1-j), 1)$ ). Таким образом, для определения более точного поведения намагниченности и других величин необходимо либо находить спектр возбуждений и равновесное  $\beta$  в одном и том же согласованном приближении, что зачастую связано с исключением нефизических состояний в высоких порядках разложения по операторам, либо проводить вычисления методом Монте-Карло. Мы, однако, ограничились примерным определением поведения, основанным на знании точки фазового перехода и представлениях о характерном виде функции. На рис. 3 штриховой линией показано примерное поведение намагниченности. Согласно рисунку, ее обращение в нуль происходит одновременно с  $\beta(j)$  при  $j = J_2/3J_1 = 0.132$ .

Сделанные расчеты позволяют оценить среднее значение спина на узле: оно составляет от приблизительно 1/4 до 0. Таким образом, квантовое сокращение спина в 120-градусной фазе лежит в интервале 50–100 % в зависимости от  $j$ .

## 10. НАЧАЛЬНАЯ ВОСПРИИМЧИВОСТЬ

Мы вычислили начальную восприимчивость в поле  $H = H_x$ , перпендикулярном плоскостям. Вместо  $a$ - и  $b$ -бозонов в поле  $H_x$  удобны операторы  $s$  и  $p$ :

$$s = \frac{a+b}{\sqrt{2}}, \quad p = \frac{a-b}{\sqrt{2}},$$

для которых

$$a^+a + b^+b = s^+s + p^+p$$

и векторы ферро- и антиферромагнетизма равны

$$\begin{aligned} M^x &= c^+p + p^+c, & M^y &= i(c^+s - s^+c), \\ M^z &= s^+p + p^+s, & L^x &= \frac{1}{\sqrt{\lambda}}(s^+u + us), \\ L^y &= -\frac{i}{\sqrt{\lambda}}(p^+u - up), & L^z &= -\frac{1}{\sqrt{\lambda}}(c^+u + uc). \end{aligned} \quad (30)$$

Удобство новых операторов обусловлено тем, что поле, приложенное вдоль  $x$ , вносит конденсацию только  $p$ -поля, причем на волновом векторе  $\mathbf{k} = \mathbf{q}$ . Действительно, ожидаемое значение индуцированной намагниченности,

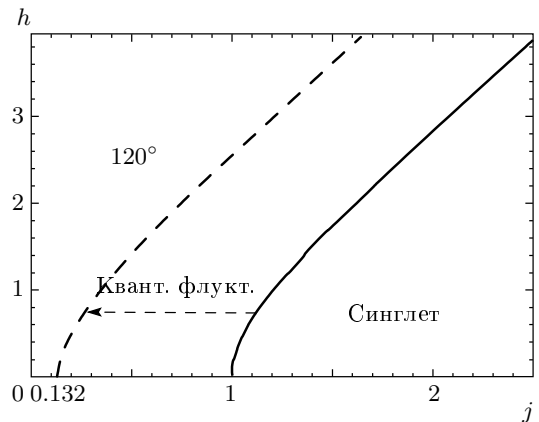
$$\langle S_x(i) \rangle = M_\perp(i) = \langle c_i^+ p_i \rangle = \text{const}(i),$$

не должно зависеть от узла, а это накладывает ограничение на допустимый вид операторов  $p$ . В общем случае

$$c_i^+ = \langle c_i^+ \rangle + \varepsilon_i^+, \quad p_i = \langle p_i \rangle + \chi_i,$$

поэтому

$$\begin{aligned} M_\perp &= \langle S_x \rangle = \langle c_i^+ p_i \rangle = \langle c_i^+ \rangle \langle p_i \rangle + \langle \varepsilon_i^+ \chi_i \rangle \equiv \\ &\equiv M_\perp^0(i) + \Delta M_\perp(i) = \text{const}(i), \\ M_\perp^0(i) &= \langle c_i^+ \rangle \langle p_i \rangle = \alpha \exp(-iqR_i) \langle p_i \rangle = \\ &= \text{const}(i) \Rightarrow \langle p_i \rangle = \tilde{\alpha} \exp(iqR_i), \\ p_k &= \sqrt{N} \tilde{\alpha} \delta_{kq} + \chi_k, \\ M_\perp^0 &= \alpha \tilde{\alpha} = \frac{\sqrt{\beta\gamma}}{\lambda}, \quad \gamma \equiv \lambda \tilde{\alpha}^2, \end{aligned} \quad (31)$$



**Рис. 4.**  $j$ - $h$ -фазовая диаграмма при малых  $h$ . Сплошная кривая показывает положение фазовой границы в среднеполевом приближении, штриховая кривая — с учетом флуктуаций. При увеличении поля  $h$  основным состоянием в области малых  $j$  становятся другие семь фаз вместо 120-градусной структуры [41]

т. е. бозоны  $c$  и  $p$  конденсируются на волновом векторе  $\mathbf{k} = \mathbf{q}$ . Индуцированная намагниченность и восприимчивость имеют вид

$$\begin{aligned} M_\perp &= \frac{\sqrt{\beta\gamma}}{\lambda} + \frac{1}{N} \sum_k \langle \varepsilon_k^+ \chi_k \rangle \equiv M_\perp^0 + \Delta M_\perp, \\ \chi_\perp &= \left. \frac{\partial M_\perp}{\partial H_x} \right|_{H_x=0} \equiv \chi_\perp^0 + \Delta \chi_\perp. \end{aligned} \quad (32)$$

Из минимума энергии основного состояния  $\tilde{E}_0$  в магнитном поле можно определить параметры  $\beta$  и  $\gamma$ . В среднеполевом приближении ( $h \equiv H_x/3J_1^*$ ) имеем

$$\begin{aligned} \tilde{E}_0 &\equiv \frac{\lambda E_0}{N} = -\frac{3}{2} J_2 \lambda + 2 J_2 (\beta + \gamma) - \\ &- 2 H_x \sqrt{\beta\gamma} + 18 J_1^* \beta \gamma - 6 J_1^* \beta (1 - \beta), \end{aligned} \quad (33)$$

$$\begin{aligned} \gamma_0 &= \beta_0 \left[ \frac{h}{2(j+3\beta_0)} \right]^2, \\ j &= 1 - 2\beta_0 + j \left[ \frac{h}{2(j+3\beta_0)} \right]^2. \end{aligned} \quad (34)$$

На кривой

$$j_k = \frac{1}{2} \left[ 1 + \sqrt{1 + h^2} \right]$$

величины  $\beta_0$  и  $\gamma_0$  одновременно обращаются в нуль при  $h \neq 0$ . Эта функция является кривой фазовых переходов в среднеполевом приближении, так как при этом исчезает 120-градусное упорядочение.

На рис. 4 приведена соответствующая  $j-h$ -фазовая диаграмма модели. Там же штриховой линией показано, как изменится фазовая диаграмма при учете влияния квантовых флуктуаций. Магнитное поле, как и должно быть, сдвигает точку фазового перехода в неупорядоченное состояние в область больших  $j$ . Однако такое поведение кривой равновесия характерно лишь для малых  $h$ ; при повышении магнитного поля 120-градусная структура уже не является основным состоянием, а фазовая  $j-h$ -плоскость обнаруживает в области малых  $j$  и  $h$  сложную структуру, определяя области существования семи фаз с различными типами спинового упорядочения [20, 41, 42]. Заметим, что тепловые флуктуации в чисто двумерных системах приводят к полному разрушению упорядочения при  $h = 0$  из-за исчезновения эффективной спиновой длины (теорема Мермина–Вагнера). Температурное поведение квадрумных треугольных антиферромагнетиков на примере RuFe(MnO<sub>4</sub>)<sub>2</sub> исследовалось недавно в работе [43].

Используя полученные значения  $\beta_0$  и  $\gamma_0$ , находим среднеполевое приближение индуцированной намагниченности и начальной восприимчивости:

$$\begin{aligned} M_{\perp}^0(h \rightarrow 0) &= \frac{\sqrt{\beta_0 \gamma_0}}{\lambda} \Big|_{h \rightarrow 0} = \frac{1}{2\lambda} \frac{(1-j)}{(3-j)} h, \\ \chi_{\perp}^0 &= \frac{\partial M_{\perp}^0(h \rightarrow 0)}{\partial H_x} = \frac{1}{6J_1} \frac{(1-j)}{(3-j)}. \end{aligned} \quad (35)$$

В предельном случае  $j = 0$  имеем  $\chi_{\perp}^0 = 1/18J_1$ , что совпадает с результатами для однослоинных треугольных решеток.

Для вычисления флуктуационной поправки к намагниченности

$$\Delta M_{\perp} = \frac{1}{N} \sum_k \langle \varepsilon_k^+ \chi_k \rangle$$

необходимо найти собственные функции гамильтониана в магнитном поле, который в квадратичном приближении можно привести к виду

$$H_h = E_0 + H_s + H_{cp},$$

где  $H_s$ ,  $H_{cp}$  — квадратичные формы по  $s$ - и  $\varepsilon\chi$ -операторам, соответственно. Имеем

$$\begin{aligned} H_s &= \sum_k 2A_k^s s_k^+ s_k + B_k^s (s_k^+ s_{-k}^+ + s_k s_{-k}), \\ \frac{A_k^s}{3J_1^*} &\equiv a_s = j + \beta + \nu_k \left( 1 - \frac{3}{2}\beta - \frac{3}{2}\gamma \right), \\ \frac{B_k^s}{3J_1^*} &\equiv b_s = \nu_k \left( 1 - \frac{\beta}{2} - \frac{3}{2}\gamma \right). \end{aligned} \quad (36)$$

Спектр  $s$ -возбуждений щелевой:

$$\begin{aligned} E_k^s &= 3J_1^*(j + \beta) \times \\ &\times \sqrt{\left( 1 - \frac{\beta}{j + \beta} \nu_k \right) \left( 1 + \frac{1 - \beta - \frac{3}{2}\gamma}{j + \beta} 2\nu_k \right)}, \end{aligned} \quad (37)$$

$$\Delta_s = E_k^s(\mathbf{k} = \mathbf{q})|_{h \rightarrow 0} \rightarrow 3J_1^* \frac{2 - \beta_0}{4(1 + \beta_0)} h. \quad (38)$$

Щель, в отличие от квадратных решеток, зависит от  $j$ . Она закрывается в нулевом поле. При этом спектр  $s$ -возбуждений в нулевом поле переходит в спектр поперечных колебаний упорядоченной фазы. Имеем

$$\begin{aligned} H_{cp} &= -J_q^* \frac{\beta(\beta + \gamma)}{2(1 - \beta - \gamma)} N + \\ &+ \sum_k \left\{ 2A_k^{\varepsilon} \varepsilon_k^+ \varepsilon_k + B_k^{\varepsilon} (\varepsilon_k^+ \varepsilon_{-k}^+ + \varepsilon_k \varepsilon_{-k}) + \right. \\ &\quad \left. 2A_k^{\chi} \chi_k^+ \chi_k + B_k^{\chi} (\chi_k^+ \chi_{-k}^+ + \chi_k \chi_{-k}) + \right. \\ &\quad \left. + C_k (\varepsilon_k^+ \chi_k + \chi_k^+ \varepsilon_k) + D_k (\varepsilon_k^+ \chi_{-k}^+ + \varepsilon_k \chi_{-k}) \right\}, \end{aligned} \quad (39)$$

$$\begin{aligned} \frac{A_k^{\varepsilon}}{3J_1^*} &\equiv a_{\varepsilon} = \\ &= j + 2\beta + \frac{\beta^2}{2(1 - \beta - \gamma)} (1 + 2\nu_k) + \nu_k \left( 1 - 3\beta - \frac{3}{2}\gamma \right), \end{aligned}$$

$$\begin{aligned} \frac{B_k^{\varepsilon}}{3J_1^*} &\equiv b_{\varepsilon} = \\ &= \beta + \frac{\beta^2}{2(1 - \beta - \gamma)} (1 + 2\nu_k) + \nu_k \left( 1 - 3\beta - \frac{3}{2}\gamma \right), \end{aligned}$$

$$\begin{aligned} \frac{A_k^{\chi}}{3J_1^*} &\equiv a_{\chi} = \\ &= j + \beta + \frac{\beta\gamma}{2(1 - \beta - \gamma)} (1 + 2\nu_k) + \nu_k \left( 1 - \gamma - \frac{3}{2}\beta \right), \end{aligned}$$

$$\frac{B_k^{\chi}}{3J_1^*} \equiv b_{\chi} = \frac{\beta\gamma}{2(1 - \beta - \gamma)} (1 + 2\nu_k) + \nu_k \left( -1 + \gamma + \frac{\beta}{2} \right),$$

$$\frac{C_k}{3J_1^*} \equiv c = -h + \sqrt{\beta\gamma} \left[ 5 + \frac{\beta}{1 - \beta - \gamma} (1 + 2\nu_k) - 3\nu_k \right],$$

$$\frac{D_k}{3J_1^*} \equiv d = \sqrt{\beta\gamma} \left[ 1 + \frac{\beta}{1 - \beta - \gamma} (1 + 2\nu_k) - 3\nu_k \right].$$

Аналитическое выражение для спектра *ср*-возбуждений в магнитном поле имеет вид

$$\begin{aligned} E_k^{cp} &= 3J_1^* \sqrt{m \pm \sqrt{m^2 - \tilde{c}}}, \\ m &= \frac{1}{2} \left[ a_\varepsilon^2 - b_\varepsilon^2 + a_\chi^2 - b_\chi^2 + \frac{1}{2}(c^2 - d^2) \right], \\ \tilde{c} &= c_1 c_2, \\ c_1 &= \frac{(c-d)^2}{4} - (a_\varepsilon - b_\varepsilon)(a_\chi - b_\chi), \\ c_2 &= \frac{(c+d)^2}{4} - (a_\varepsilon + b_\varepsilon)(a_\chi + b_\chi). \end{aligned} \quad (40)$$

К сожалению, его невозможно записать в виде компактной функции переменных  $(j, h)$  или  $(\beta, \gamma)$  или других. Спектр *ср*-возбуждений содержит две ветви. При этом, во-первых, нижняя ветвь спектра содержит голдстоуновский бозон при  $\mathbf{k} = \mathbf{q}$ , а при  $h = 0$  переходит в спектр поперечных (*ab*) мод упорядоченной фазы; во-вторых, верхняя ветвь щелевая, а при  $h = 0$  переходит в спектр продольных (*c*) колебаний, причем величина щели (в среднеполевом приближении) равна

$$\begin{aligned} \Delta_{cp} &= E_{k(2)}^{cp}(\mathbf{k} = \mathbf{q}) = \\ &= 6J_1^* \sqrt{(j + \beta_0)(j - 1 + 3\beta_0)}. \end{aligned} \quad (41)$$

В результате диагонализации  $H_s$  имеем:

$$H_s = \sum_k (E_k^s - A_k^s) + \sum_k 2E_k^s \gamma_k^+ \gamma_k^-.$$

Диагонализация  $H_{cp}$  приводит при  $h \rightarrow 0$  ( $\varepsilon_c$  и  $\varepsilon_p$  — спектры при  $h \rightarrow 0$ ) к выражению

$$\begin{aligned} H_{cp} &= E_{cp}^0 + \sum_k [(\varepsilon_c - A_k^\varepsilon) + (\varepsilon_p - A_k^\chi) - O(h^2)] + \\ &+ 2 \sum_k (\varepsilon_p a_k^+ a_k + \varepsilon_c b_k^+ b_k), \\ E_{cp}^0 &= 3J_1^* \frac{\beta(\beta + \gamma)}{2(1 - \beta - \gamma)} N, \quad \varepsilon_c = \sqrt{A_k^\varepsilon{}^2 - B_k^\varepsilon{}^2}, \\ \varepsilon_p &= \sqrt{A_k^\chi{}^2 - B_k^\chi{}^2}. \end{aligned} \quad (42)$$

Энергия основного состояния в магнитном поле  $h \rightarrow 0$

$$\begin{aligned} E_h &= E_0 + E_{cp}^0 + \sum_k (E_k^s - A_k^s) + \\ &+ \sum_k [(\varepsilon_c - A_k^\varepsilon) + (\varepsilon_p - A_k^\chi) - O(h^2)] \end{aligned} \quad (43)$$

позволяет определить равновесные значения  $\beta$  и  $\gamma$  (положив  $\partial E_h / \partial \beta = 0$ ,  $\partial E_h / \partial \gamma = 0$ ). Достаточно

уточнить один параметр ( $\gamma$ ), другой взять в среднеполевом приближении, так как  $\beta$  и  $\gamma$  входят в

$$M_\perp = \frac{\sqrt{\beta\gamma}}{\lambda} + \Delta M_\perp$$

в виде произведения. В итоге получим

$$\gamma = \beta \left[ \frac{h}{2(j + 3\beta) + \lambda\varphi} \right]^2,$$

где  $\varphi = \varphi(\beta, \gamma, j, h)$  — интеграл, содержащий коэффициенты гамильтонианов  $H_s$ ,  $H_{cp}$ .

Таким образом, с учетом перенормированного значения  $\gamma$  и диагонализующих преобразований мы получили выражение для индуцированной намагниченности

$$M_\perp = \frac{\sqrt{\beta_0\gamma}}{\lambda} + \Delta M_\perp$$

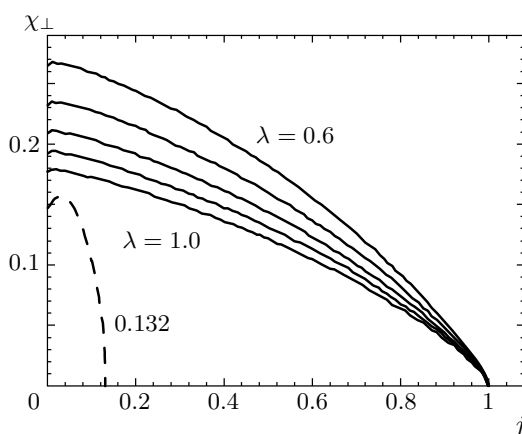
и начальной восприимчивости

$$\chi_\perp = \chi_\perp^0 + \Delta\chi_\perp,$$

где средние и флуктуационные компоненты имеют вид (здесь  $h \rightarrow 0$ ,  $\beta = \beta_0$ ,  $j \approx 1 - 2\beta_0$ )

$$\begin{aligned} M_\perp^0 &\approx \frac{\sqrt{\beta_0\gamma}}{\lambda} \approx \\ &\approx h \frac{\beta_0}{\lambda [2(1 + \beta_0) + \lambda\varphi(h = 0)]}, \\ \chi_\perp^0 &= \frac{1}{3J_1^*} \frac{\beta_0}{\lambda [2(1 + \beta_0) + \lambda\varphi(h = 0)]}, \\ \Delta M_\perp &= -h \frac{1}{4(1 + \beta_0)} \frac{1}{N} \sum_k u_c^2 u_p^2 (x_c + x_p) \times \\ &\times \frac{[-2(1 - \beta_0) + \beta_0 d'] (x_c + x_p) + \beta_0 d' (1 + x_c x_p)}{e_c + e_p}, \\ \Delta\chi_\perp &= -\frac{1}{3J_1^*} \frac{1}{4(1 + \beta_0)} \frac{1}{N} \times \\ &\times \sum_k \frac{u_\parallel^2 u_\perp^2 (x_\parallel + x_\perp)}{e_\parallel + e_\perp} \times \\ &\times \left\{ [-2(1 - \beta_0) + \beta_0 d'] (x_\parallel + x_\perp) + \right. \\ &\left. + \beta_0 d' (1 + x_\parallel x_\perp) \right\}. \end{aligned} \quad (44)$$

$$\begin{aligned} u_i &= \sqrt{\frac{1}{2} \left( \frac{a_i}{e_i} + 1 \right)}, \quad x_i = -\frac{b_i}{a_i + e_i}, \\ e_i &= \sqrt{a_i^2 - b_i^2} = \frac{\varepsilon_i}{3J_1^*}, \quad i = c(\varepsilon), p(\chi), \\ \alpha_{c(\varepsilon)}(h = 0) &= \alpha_k^\parallel, \quad \alpha_{p(\chi)}(h = 0) = \alpha_k^\perp, \\ \alpha &= a, e, u, x, \quad b_\varepsilon(h = 0) = b_k^\parallel, \\ b_\chi(h = 0) &= -b_k^\perp, \quad d' \equiv 1 + \frac{\beta_0}{1 - \beta_0} (1 + 2\nu_k) - 3\nu_k. \end{aligned}$$



**Рис. 5.** Начальная восприимчивость. Сплошные кривые получены с использованием среднеполевого приближения для  $\beta$ , штриховая кривая — примерное поведение, соответствующее  $\beta(j)$  с учетом флуктуаций:  $\chi_{\perp} \sim \sqrt{\beta}$ , поэтому  $\beta$  и  $\chi_{\perp}$  обращаются в нуль одновременно при  $j = 0.132$

Вид функции  $\chi_{\perp}$  приведен на рис. 5. Зависимость немонотонная с небольшим максимумом в окрестности малых  $j$ . Штриховой линией показано поведение, соответствующее таблице равновесных значений  $\beta(j)$ .

В работе не рассматривалась возможность образования синглетных пар в слое. Учет этой возможности, по мнению авторов, должен привести к исчезновению спина на узле и  $\chi_{\perp}$  при  $j \approx 0$ , так что интервал 120-градусной фазы будет ещеужен.

Работа выполнена при финансовой поддержке Программы Президиума РАН «Квантовая макрофизика».

## ЛИТЕРАТУРА

1. M. Hase, I. Terasaki, and K. Uchinokura, Phys. Rev. Lett. **70**, 3651 (1993).
2. Jun Zang, A. R. Bishop, and D. Schmeltzer, Phys. Rev. B **52**, 6723 (1995).
3. A. V. Chubukov, Phys. Rev. B **43**, 3337 (1991).
4. А. В. Чубуков, Письма в ЖЭТФ **49**, 108 (1989).
5. A. V. Chubukov and T. Jolicoeur, Phys. Rev. B **44**, 12050 (1991).
6. J. Darriet and J. P. Regnault, Sol. St. Comm. **86**, 409 (1993).
7. M. Azuma, Z. Hiroi, M. Takano et al., Phys. Rev. Lett. **73**, 3463 (1994).
8. S. Taniguchi, T. Nishikawa, Y. Yasui et al., J. Phys. Soc. Jpn. **64**, 2758 (1995).
9. H. Kageyama, K. Yoshimura, R. Stern et al., Phys. Rev. Lett. **82**, 3168 (1999).
10. B. S. Shastry and B. Sutherland, Physica B **108**, 1069 (1981).
11. H. Kageyama, H. Suzuki, M. Nohara et al., Physica B **281**, 667 (2000).
12. H. Kageyama, M. Nishi, N. Aso et al., Phys. Rev. Lett. **84**, 5876 (2000).
13. R. W. Smith and D. A. Kesler, J. Sol. St. Chem. **93**, 430 (1991).
14. H. Nojiri, H. Kageyama, K. Onizuka et al., J. Phys. Soc. Jpn. **68**, 2906 (1999).
15. P. Lemmens, M. Grove, M. Fischer et al., Phys. Rev. Lett. **85**, 2605 (2000).
16. S. Miyahara and K. Yeda, Phys. Rev. Lett. **82**, 3701 (1999).
17. Y. Sasago, M. Hase, K. Uchinokura et al., Phys. Rev. B **52**, 3533 (1995).
18. A. V. Syromyatnikov and S. V. Maleyev, Phys. Rev. B **66**, 132408 (2002).
19. Х. Кагеяма, А. Н. Васильев, Природа № 2 (2002).
20. H. Shiba and T. Nikuni, in *Recent Advances in Magnetism of Transition Metal Compounds*, ed. by A. Kotani and N. Suzuki, World Scientific. (1993), p. 372.
21. Р. С. Гехт, УФН **159**, 261 (1989).
22. А. С. Боровик-Романов, Б. С. Думеш, А. М. Тихонов, Письма в ЖЭТФ **66**, 724 (1997).
23. А. С. Боровик-Романов, Б. С. Думеш, С. В. Петров и др., ЖЭТФ **113**, 352 (1998).
24. Б. С. Думеш, С. В. Петров, А. М. Тихонов, Письма в ЖЭТФ **67**, 988 (1998).
25. Б. С. Думеш, М. И. Куркин, С. В. Петров и др., ЖЭТФ **115**, 2228 (1999).
26. Б. С. Думеш, УФН **170**, 403 (2000).
27. M. F. Collins and O. A. Petrenko, Can. J. Phys. **75**, 605 (1997).
28. T. Siegrist et al., Phys. Rev. B **35**, 7137 (1989).

- 29.** J. M. Tranquada, G. Shirane, B. Keimer et al., Phys. Rev. B **40**, 4503 (1989).
- 30.** H. Godfrin, R. R. Ruel, and D. D. Osheroff, Phys. Rev. Lett. **60**, 305 (1988).
- 31.** B. Bernu, C. Lhuillier, and L. Pierre, Phys. Rev. Lett. **69**, 2590 (1992).
- 32.** P. Asaria, B. Delamotte, and D. Mouhanna, Phys. Rev. Lett. **70**, 2483 (1993).
- 33.** A. V. Chubukov, S. Sachdev, and T. Senthil, J. Phys.: Cond. Mat. **6**, 8891 (1994).
- 34.** R. R. P. Singh, Phys. Rev. B **39**, 9764 (1989).
- 35.** S. Sachdev and R. N. Bhatt, Phys. Rev. B **41**, 9323 (1990).
- 36.** A. V. Chubukov, E. Gagliano, and C. Balseiro, Phys. Rev. B **45**, 7889 (1992).
- 37.** R. Chitra, S. Rao, D. Sen et al., Phys. Rev. B **52**, 1061 (1995).
- 38.** A. V. Chubukov and D. K. Morr, Phys. Rev. B **52**, 3521 (1995).
- 39.** Guo-Zhu Wei and An Du, J. Phys.: Cond. Mat. **7**, 8813 (1995).
- 40.** И. Н. Бондаренко. Дисс. . . . канд. физ.-матем. наук, КГПУ, ИФ СО РАН, Красноярск (2003).
- 41.** Р. С. Гехт, И. Н. Бондаренко, ЖЭТФ **111**, 627 (1997).
- 42.** E. Rastelli and A. Tassi, J. Phys.: Cond. Mat. **8**, 1811 (1996).
- 43.** L. E. Svistov, A. I. Smirnov, L. A. Prozorova et al., Phys. Rev. B **67**, 094434 (2003).